

III-66 エネルギー的立場よりの粘性土の性質

早稲田大学 正員 後藤正司
○学生員 稲垣惠一

I. 序

筆者らは、すでに、締固め不飽和粘性土の力学挙動に關し、体積一定、側圧一定の三軸圧縮試験、側圧一定のクリープ試験を通じて、一考察を與えたが^{1), 2)}。今回は、繰返し三軸圧縮試験中に、体積変化を測定し、興味ある結果を得たので、以前に発表したものとも連続させて、発表する。

II. 供試体

従来用いて来たもの^{1), 2)}と同様な方法で作成した、締固めカオリン粘土である。締固め方法は、静的に行い、一定体積に亘るモールドを使用している。諸性質は下記の様である。

- 1) カオリン粘土の真比重、 2.69 。
2) 含水比、 $240 \pm 0.5\%$
3) 飽和度、 $82 \pm 2\%$
4) 空隙比、 0.77 ± 0.02
5) 高さ、 7.15cm 、径 3.50cm .

III. 試験法

ヒズミ制御により、繰返し載荷を行う。除荷は、荷重が0になるまで行う。ヒズミ速度は、載荷時除荷時とも、 0.770mm/min 、初期供試体高さの $1.065\%\text{/min}$ である。体積変化測定は、従来と同様の^{1), 2)}ものと用いた。測定精度は、 0.01cm^3 である。体積変化の測定精度向上と、ゴムスリーブが低側圧時に、供試体の側方変位を拘束するのを除去する為に、従来のゴムスリーブの下以下の極くうすいものを用いた。これは、非常にフレキシブルなのが、供試体と、スリーブの間に、空隙が残る事を防ぐ事が出来た。

IV. 断面補正法

従来一般に用いられている $(1 - \delta/100)$ の代りに、変形の異形を基とし、回転放物体により近似し、その最大半径を用いた。従来のものとの比較は、 $\delta = 10\% \sim 95\%$ 、 $\delta = 20\% \sim 90\%$ である。

V. 試験結果

Fig. 1.(a) に於く、特に、体積変化曲線に、興味ある、幾つかの特徴が見られる。

- 1). オー回目、再載荷にかかわらず、載荷により体積は、収縮を起す。
- 2). ある限界以上の応力により、体積は、載荷過程上で膨張に転ずる。
- 3). 繰返し載荷に於く、膨張に転ずる限界応力は、初期体積以下と以上で異なる。ピークには無關係。
- 4). 除荷時に、初期体積以下の場合は膨張を起すが、以上の場合は、若干の膨張後、収縮を起す。
- 5). (1)-(3) の最大値以後は、載荷除荷による「ヒズミ一体積変化」のパターンは、ほぼ一定である。
- 6). (1)-(3) の最大値以後は、除荷時収縮率と、載荷時膨張率は、ほぼ等しい。
- 7). 繰返し無しの膨張が停止する時の応力は、初期体積以上での載荷における膨張応力と等しい。

Fig. 1.(b) に於いては、

- 1). 初期体積の前後を向かず、再圧縮による圧縮率は、収縮過程に於いて一定である。

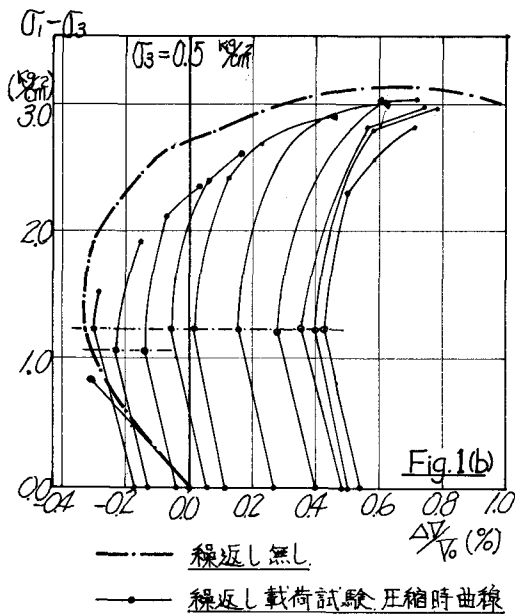


Fig. 1(b)

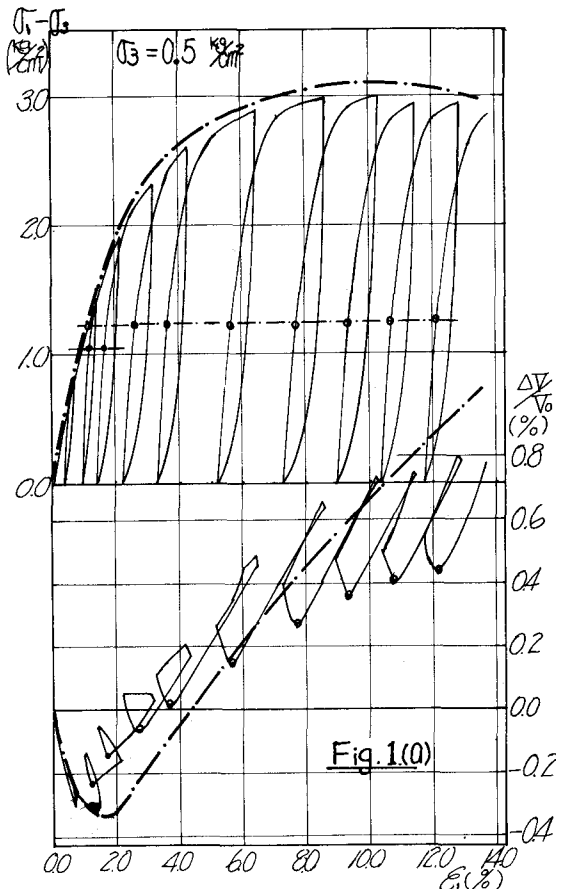


Fig. 1(d)

- 2) 全体としてこの再圧縮曲線群の包絡線は、
繰返し無しの場合と相似である。
3) $(\sigma_1 - \sigma_3)$ のピークを過ぎた後、膨張時の
曲線形状に乱れを生じている。

VI. 結論

V. 述べた事を別の立場から考察するに。

Fig. 2 を示す。これは、バーガースモデルのエレメントの定数変化を、応力の大きさに対するものである。これにより、破壊強度の30%附近で E_1 が、30~45%で他のものが大きく変化している。体積変化図に示すように、限界応力の変化するのは30%強であるから、体積変化特性に肉体が深いのは、 E_1 であり、これが、骨組を示していると考えよい。尚、詳しい説明は、当日更に行う予定である。

- 1) 第4回土質工学研究発表会
2) 第5回 " "

